

水質時系列의週期性分析

安 鈴 美

同德女子大學校 健康管理科

Periodicity Analysis of Water Quality at Guii

Ryong Me Ahn

Dept. of Health Management, Dong Duck Women's University

Abstract

The stochastic variations were analyzed periodicity by autocorrelation, variance spectrum and Fourier series. These time series included hourly and hourly mean observations on DO, water temperature and air temperature which measured by automatic recording instrument at Guii from 1, Jan., 1986 to 23, Feb., 1986.

The results of study were as follows:

1. Autocorrelation coef. (lag time 120) DO($\rho_1 = 0.9705$), WT($\rho_1 = 0.9890$), and AT($\rho_1 = 0.9874$) were deeply related. DO and AT clearly showed 24-hour periodicities while WT showed 23-26 hour periodicity.
2. Spectral density showed high at 24 hour in each item and all of them showed weak peak at 12 hour.
3. The explained variance, which was a measure of the contribution of periodic function to the original time series, varied high 90.8 - 94.7%. This results showed that water qualities at Guii were affected deterministic components.

I. 緒論

河川의 水質은 時間에 따라 끊임없이 變化하고 있다. 水質은 水文量과 함께 하나의 推計學

의現象으로 볼 수 있으며, 人爲的인 生活河水의 영향을 받아 한층複雜한 樣相을 띤다. 水質은 長期的으로 볼 때 1年을 週期로 變化되고 있으며 季節의 變化에 따라 週期性을 보이고, 1日 동안에도 역시 時間의 週期性을 보인

다.^{1~6)}

水質의 變化는 이러한 週期性 外에 說明하기 어려운 確率的 成分이 水質現象의 時系列에 包含되어 있기 때문에 連續的으로 測定된 水質의 時系列은 推計的인 現象으로 看做된다.

水質變動에 對한 推計學的 分析을 利用한 研究는 1960 年代 後半부터 活潑해지고 있다.

1967年 Thoman⁷⁾은 Spectral 分析을 利用하여 週期成分을 찾아내었고, 이 分析技法으로 日別水溫과 溶存酸素의 變動을 照查하였다. Hain⁸⁾도 1972 年 Spectral 分析으로 日別 水質變動의 週期性을 照查하였다. 國內에서는 善遇가 Spectral Density에 의해 月降水量을 分析하였고 李^{1,2)}의 水質의 週期分析, 自己回歸模形 檢討에 이어 金⁹⁾ 安¹⁰⁾ 金¹¹⁾ 崔¹²⁾의 水質의 推系學的인 研究는 測定 資料의 貧困으로 研究가 活潑하게 進行되지 못한 實情이다.

本 研究에서는 구의의 DO, WT, AT의 週期性을 把握하기 위해 時別 資料로 自己相關係數(lag time 120)와 Spectral Density를 分析하였고, 日平均 資料로는 說明分散을 分析하여 各 週期가 全時系列에 寄與하는 寄與度를 求하였다.

研究結果는 河川의 水質監視 및 上水의 取水計劃과 下水의 排水計劃등 河川의 水質管理에 利用될 수 있으리라 생각된다.

II. 調査對象 및 調査期間

本 研究에 利用된 資料는 自動水質測定機가

設置되어 있는 구의 정수장의 DO와 水溫의 資料를 利用하였고, 氣溫은 中央氣象臺의 月表原簿를 利用하였으며, 期間은 1986 年 1 月 1 日 ~ 2 月 23 日까지이다.

本 研究에 利用된 구의 地點은 천호대교 上流 1.3km에 位置하는데, 現在 水質은 汚染이 우려되는 곳이다.

各 項目的 統計的 特性은 Table 1 과 같다.

III. 結果 및 考察

1. 自己相關係數(Auto correlation coef. $r(k)$ 的 分析)

自己相關係數($r(k)$)와 lag time에 對한 직교 좌표상의 曲線인 Correlogram은 原時系列 X_t 의 週期를 찾는데 利用된다. $r(k)$ 는 이산형 시계열의 경우 k 만큼 지체된 時系列의 自體變數사이에 存在하는 相關係數이며, 지체시간이 k 인 $\rho(k)$ 의 推定值 $r(k)$ 는 다음과 같다.^{13~15)}

$$r_k = \frac{C_k}{C_0} \quad 3.1$$

(C_k : 共分散, C_0 : 分散)

時系列의 相關性, 即 時系列에서의 지체 k 사이의 相關性이 存在하는 것은 어느 시점 t 의 X_t 가 지체 t 時間 後의 X_{t+k} 에 영향을 미치는 것을 意味하고 相關性이 存在하지 않으면 지체 k 의 變量間에 서로 종속관계가 없는 독

Table 1 Statistical Properties of Hourly Data

Items	Max. Val	Min. Val	Mean	S. D.	No. of Data
DO (mg/l)	14.6	9.1	11.38	1.03	1,296
WT (°C)	5.5	2.9	4.45	1.12	1,296
AT (°C)	6.7	-18.0	-4.43	4.90	1,296

(Jan. 1 ~ Feb. 23, 1986, at Guii)

립적인 것을 의미한다. 時系列 X_t 가 獨立的 時系列 인지의 여부를 판단하기 위해 사용한 Anderson¹⁷⁾의 유의성 검정식은 다음과 같다.

$$L_{(k)} = \frac{-1 \pm n\sqrt{N-k-2}}{N-k-1} \quad 3.2$$

(α 가 95 % 일 때 $n_\alpha = 1.96$)

각 項目的 週期性을 파악하기 위해 式 3.1의 自己相關係數(lag time 120)를 利用하여 얻어진 Correlogram은 Fig.1~3 과 같다.

DO는 정확하게 24 時間 週期를 보이고 있으며, 水溫과 氣溫은 23 時間에서 25 時間의 週期를 보이고 變動하고 있다. 時系列이 여러개의 週期를 가지고 있다면 Correlogram은 各 週期의 합으로 나타나기 때문에 단순히 Correlogram 만으로 週期를 찾는데 限界가 있어 Spectral Density로 週期를 分析하였다.

2. Spectral Density에 의한 週期分析

水文量이 하나의 時系列을 이룬다고 가정했을 때 이들의 模型은 다음과 같이 表現할 수

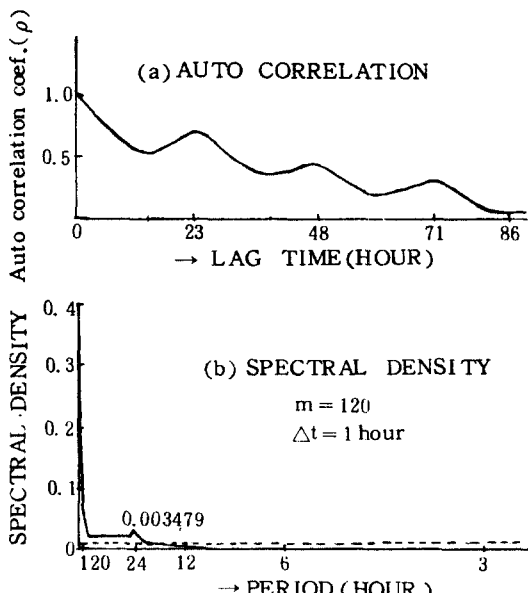


Fig.2. Correlogram and Spectral Density of Hourly WT.

있다.¹⁸⁾

$$X_{(t)} = X_{T(t)} + X_{F(t)} + \epsilon_{(t)}, \quad 3.3$$

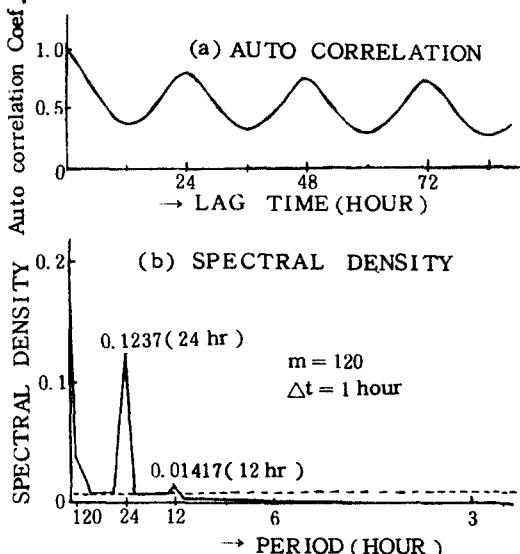


Fig.1. Correlogram and Spectral Density of D.O

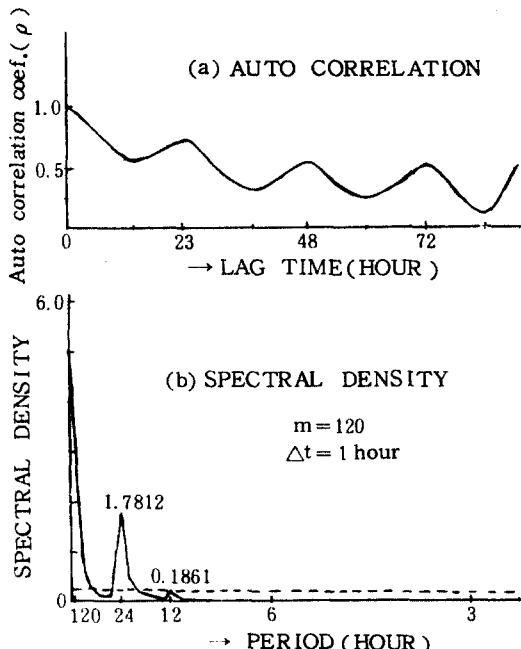


Fig.3. Correlogram and Spectral Density of Hourly AT.

이중 X_{ctt} 는 時系列이고, X_{Tctt} 는 傾向成分, ϵ_{ctt} 는 確率成分이다. 長期間의 資料가 없을때는 X_{Tctt} 의 成分을 알아내기가 어렵기 때문에 無視하고, X_{ctt} ,가 단지 週期成分으로構成되어 있다고 가정하면 式 3.3 의 X_{ctt} ,는 다음과 같은 Fourier 級數로 表示할 수 있다.

$$\bar{X}_{ctt} = \bar{X} + \sum_{k=0}^{\infty} (A_k \cos \frac{2\pi k}{N} t + B_k \sin \frac{2\pi k}{N} t) \quad 3.4$$

$$A_k = \frac{2}{N} \sum_{t=1}^N X_{ctt} \cos \frac{2\pi k}{N} t \quad 3.5$$

$$B_k = \frac{2}{N} \sum_{t=1}^N X_{ctt} \sin \frac{2\pi k}{N} t \quad 3.6$$

$$C_j = (A_j^2 + B_j^2)^{1/2} \quad 3.7$$

A_k , B_k 는 Fourier 當數

C_j 는 진폭

$C_j^2/2$ 는 j 次 調和函數의 分散인데, 이를 $H(f_j)$ 로 놓으면 式 3.7 는 다음과 같다.

$$H(f_j) = \frac{1}{2}(A_j^2 + B_j^2) \quad 3.8$$

f_j 는 j 次 調和函數의 頻度이고 $0 \sim 0.5$ 의 범위에 있는데, 이는 j 에 해당하는 週期函數가 全時系列에 기여하는 기여도를 나타내며, 이를 表現可能分散(Explained Variance)이라 한다. 따라서 1次에서 n 次까지 合成된 n 個의 調和函數로 說明되는 說明分散比 P_m 은 다음 式과 같이 表示된다.

$$P_m = \sum_{j=1}^m \frac{C_j^2/2}{\delta_x^2} \quad 3.9$$

固定된 週期外에 0에서 0.5 사이의 任意의 頻

度에서 週期成分을 發見하기 위한 Spectral Density 的 推定值는 다음과 같다.

$$I_{ctt} = 2 [C_0 + 2 \sum_{k=1}^{\infty} C_k \cos 2\pi f k] \quad 3.10$$

$$0 \leq f < 0.5$$

이 式을 利用하여 資料數가 N 인 이산形 時系列의 Spectral Deusity를 求하는 경우 自己共分散의 次數인 K 값의 最大值 m 은 $N/5 \sim N/10^{12}$ 사이에서 決定하며 I_{ctt} 는 V_{ctt} 값으로 推定된다.

$$V_{ctt} = 2 [C_0 + 2 \sum_{k=1}^m C_k \cos 2\pi f k] \quad 3.11$$

式 3.13 을 頻度領域(Frequency Domain)에서 時間領域으로 바꾸면

$$V_k = \frac{p}{m} (C_0 + 2 \sum_{l=1}^{m-1} C_l \cos \frac{l k \pi}{m} + C_m \cos k \pi) \quad 3.12$$

$$k = 0, 1, 2, \dots, m$$

$$p = \frac{1}{2} (k=0 \text{ or } m)$$

$$p = 1 (k \neq 0 \text{ and } m \neq 0)$$

式 3.13 을 平滑하게 하기 為하여 Backman 과 Tukey 가 開發한 hanning 式은

$$\left. \begin{aligned} U_0 &= \frac{1}{2} (V_0 + V_1) \\ U_k &= \frac{1}{4} V_{k-1} + \frac{1}{2} V_k + \frac{1}{4} V_{k+1} \\ U_m &= \frac{1}{2} (V_{m-1} + V_m) \end{aligned} \right\} 3.13$$

Spectral Density의 有意性 檢定은 U_k 의 平均值를 使用하면 다음과 같다.

Table 2 Period of Hourly Water Quality and Spectral Density

Iteams	Period(T) hour	Variance S_x^2	Spectral Density U_T	Mean Variance \bar{U}	$M = \frac{U_T}{\bar{U}}$
DO(mg/l)	24	1.05	0.1237	8.63×10^{-2}	14.33
WT(°C)	24	1.25	3.498×10^{-2}	1.02×10^{-2}	3.43
AT(°C)	24	24.01	3.5158	0.20	17.58

Table 3 Hourly Variations of Hourly Mean Water Qualities.

Items	Hour of Max. Val.	Max. Val.	Hour of Min. Val	Min. Val.	Val. of Upper Mean	mean m,
DO (mg/l)	1	11.89	12	10.55	18 ~ 08	11.39
WT (°C)	12	4.88	21	4.03	08 ~ 17	4.46
AT (°C)	15	-1.24	07	-7.22	11 ~ 22	-4.37

$$\bar{U} = \frac{1}{m+1} \sum_{k=0}^m U_k \quad 3.14$$

式 3.13에서 求하여진 Spectral Density의 週期(T)는 다음과 같이 求한다.¹⁸⁾

$$T_7 = \frac{2m \cdot \Delta t}{7} \quad 3.15$$

式 3.5과 式 3.6을 利用하여 Spectral Density를 求한 結果는 Table 2와 Fig. 1~3에 있다. Table 2에 있는 週期T는 式 3.14에 適合한 값이거나, \bar{U} 以上으로 뚜렷이 나타나는 週期를 제시하였고, M은 U_T 와 \bar{U} 의 比로 時間의 週期性의 영향 정도를 나타낸 것이다. 本研究의 結果는 李¹⁹⁾와 비슷한데 M값이 DO는 14.3, 氣溫은 17.6으로 水溫의 3.4보다 큰 값을 보인다. 이는 DO의 週期性이 水溫보다 強하며, DO가 水溫外의 다른 要因의 週期的 作用을 받고 있음을 나타내는 것이다. 각項目 모두 24 週期를 가장 뚜렷하게 갖고 있으며, 희미 하기는 하나 12 時間의 週期도 보인다.

3. 時平均의 特性 分析

Correlogram과 Spectral Density로 週期를 分析한 結果 24 時間 週期가 가장 뚜렷하게 나타났으나, Spectral Density分析에서는 12 時間 週期도 희미하게 나타났다. 따라서 24 時間의 週期外의 다른 週期의 存在를 確認하기 위해 說明分散(Explained Variance)을 求하였다. 時平均은 각 時의 平均으로 算出하였으며, Table 3와 Fig. 4~6에 그 結果가 있다.

式 3.5~3.6, 式 3.8~10으로 求한 說明分散

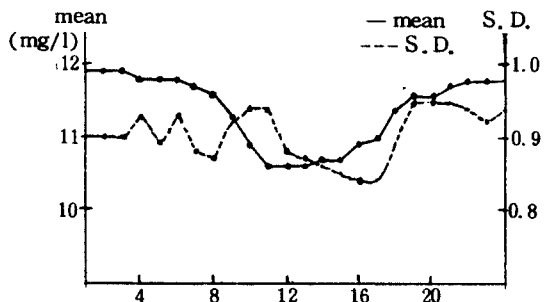


Fig.4. Hourly Mean Value and S.D. of DO.

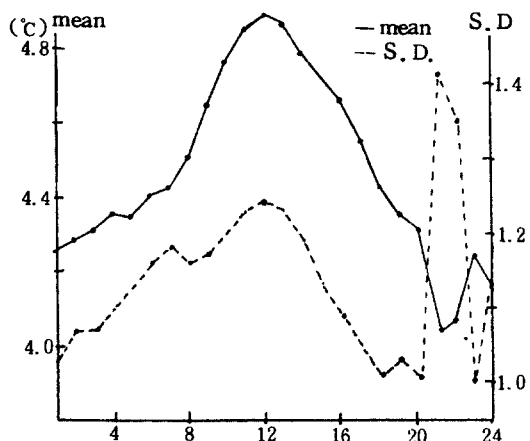


Fig.5. Hourly Mean Value and S.D. of WT.

은 Table 4에 나타내었다. 全般的으로 主調和次數는 2인데 이는 m_7 가 24 時間과 12 時間의 週期를 가지고 있는 것으로 생각할 수 있으며, 12時間 週期가 24時間 週期에 比해 약한 것은 각項目은 자연환경, 即 氣溫에 가장 큰

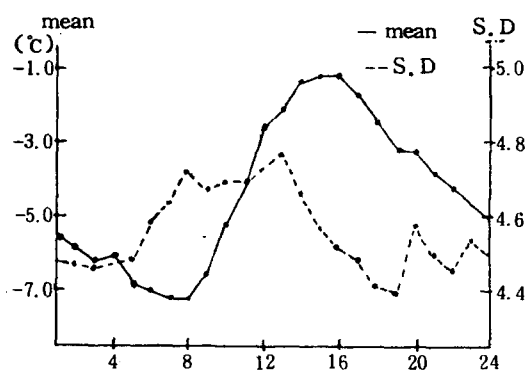


Fig. 6. Hourly Mean Value and S.D. of AT.

영향을 받고 있으나 生活下水等의 영향으로 미세한 12時間週期가 나타나는 것으로 생각할 수 있다.^{1,2)} 또, 週期 함수가 全 時系列에 기여하는 기여도를 나타내는 m_7 의 12時間週期까지의 說明分散比는 90%以上임으로 時平均別水質은 2次까지의 調和函數로 表示될 수 있을 것으로 생각된다.

IV. 結論

本研究는 自動水質測定機로 구의에서 1986年 1月 1日~2月 23日까지 連續測定된 時別 DO, 水溫과 같은 기간에 测定된 氣溫이 週期性을 分析하고자 自己相關係數, Spectral Density를 求하였고, 24時間以內의 週期를 發見하고자 說明分散을 求하였으며, 그 結果는 다음과 같다.

1. 自己相關係數로 Correlogram(lag time

120)을 圖示한 結果(Fig. 1~3) DO는 24時間의 週期를 보이나, 水溫과 氣溫은 23時間에서 25時間의 週期를 보였다.

2. 明確한 週期를 求하고자 Spectral Density를 算出한 結果 각 項目 모두 24時間 週期에서 높은 値을 보였고, 12時間에서도 희미하지만 흔적이 보였다. Spectral Density에 對한 平均分散比 M 값은 DO($M=14.33$)와 氣溫($M=17.58$)은 水溫($M=3.43$)에 比해 높은 値을 보였는데 이는 DO와 氣溫의 週期性이 水溫보다 強하며, DO가 水溫外 다른 要因의 週期的 作用을 받고 있는 것으로 생각된다(Table 2, Fig. 1~3).

3. 自己相關係數와 Spectral Density에서 각 項目의 24時間 週期는 확인 했으나, 24時間 以內의 다른 週期가 있는지를 時平均 資料로 說明分散을 利用해 檢討하였다. 각 項目的 主調 and 次數가 2인 것으로 보아 水質은 24時間 以外에 12時間의 週期를 갖고 있는 것으로 나타났으며 이는 生活河水의 영향을 받기 때문인 것으로 생각된다(Table 3~4, Fig. 4~6).

参考文獻

- 李弘根: 漢江下流部의 水質變動에 對한 推計學的 特性, 1982.
- 李弘根: 漢江의 水質變動과 工業用水의 取水時間에 對한 推計學의 研究, 대학교원 학회지, 4(2), 39~50, 1978.
- Sawyer C.N., and P.L., McCarty: Chemi-

Table 4 Explained Variances of Hourly Mean.

Items	Variance (S_x^2)	No. of Spectral Density	Explained Variance ..		
			$C_1^2/2$	$C_2^2/2$	Pm(%)
DO (mg/l)	0.2425	2	0.2068	0.02024	93.6
WT(°C)	0.07201	2	0.05924	0.006109	90.8
AT(°C)	4.1273	2	3.5285	0.3797	94.7

- sty for environmental engineering, McGraw-Hill, 1978.
4. Paroni J.L.: Handbook of water quality management planning, Van Nostard Reinhold Company, 1978.
 5. Chanlett E.T.: Environmental protection, McGraw-Hill, 1978.
 6. Rich L.G.: Environmental system engineering, McGraw-Hill, 1978.
 7. Thomann, R.V.: Time series analysis of water quality data, J. Saint. Eng. Div. ASCE, 93, No: SAI, 1-23, Feb., 1967.
 8. Hahn, R.L.: Time series analysis of daily measurements of water quality parameters of the passaic river at little falls, New Jersey. M.S. Thesis, Rutgers Univ., Nen Brunswick, NJ. 1972.
 9. 金美淑 : 낙동강 水質變動에 對한 推計學的研究, 한국 환경위생학회지, 9(1), 15 ~30, 1983.
 10. 安鈴美 : 河川의 日別 水溫差에 對한 推計學的 特性, 한국 위생학회지, 10(1), 1~12, 1984.
 11. 金貞和 : 팔당댐의 季節別 水質變動과 水質豫測에 對한 研究, 서울대학교 환경대학원, 도시계획 학석사 학위논문, 1986.
 12. 崔成源 : 漢江의 水溫 및 DO 變動에 關한 推計學的 分析, 서울대학교 보건대학원, 보건학 석사학위논문, 1987.
 13. N.T. Kottekoda, Stochastic water resources technology, The Macmillan Press LTD, 1980.
 14. Gwilym M. Jenkins and Donald G. Watts : Spectral analysis and its applications, Holden-Day.
 15. George E.P. Box and Gwilym M. Jenkins : Time series analysis forecasting and control, Holden-Day.
 16. Bendat J.S., and A.G. Piersol : Engineering applications of Correlation and spectral analysis, Wiley-Interscience, 1980.
 17. Anderson R.L. : Distribution of serial correlation coefficients, Annals of Math. Statistics, 8(1), pp. 1-13, 1941.
 18. Linvil G. Rich : Environmental systems engineering, McGraw-Hill, 1973.
 19. 鮑于 仲皓 : Spectral Density에 依한 韓國月降水量의 週期性 分析, 대한 토목학회지, 24(3), 69~74, 1976.